

# 파장가변 Mode-locked 레이저의 side-mode 억제 Side-mode suppression of wavelength tunable actively mode-locked laser

조용상\*, 최우영  
연세대학교 전기전자 공학과

09

**Abstract**

Side-mode suppression ratio of the wavelength tunable actively mode-locked Fabry-Perot laser with chirped fiber bragg grating as an external cavity is investigated with numerical analysis. It is observed that the side-mode suppression ratio (SMSR) is strongly affected by the facet reflectivity between the laser and the external cavity.

**Introduction**

파장 변환기는 WDM (wavelength division multiplexing) 시스템에서 wavelength relocation을 가능하게 하여 시스템의 유연성과 효율성을 향상시킨다는 측면에서 매우 중요한 기능을 갖는다. WDM 시스템의 채널의 수가 점차 증가함에 따라 채널의 간격이 100 GHz에 이르고 있으며 향후 더 옥 조밀해 질 것이다 [1]. 이러한 DWDM (Dense WDM) 시스템에서 사용될 수 있는 파장변환기는 100 GHz 단위의 파장변환 기능과 광대역 가변 범위가 필수적이다.

일반적으로 사용되는 파장 변환기는 종류로는 반도체 광증폭기의 비선형성을 이용한 방법과干涉ometric 기술 등이 있으나 이 방법들은 다 채널 스위칭이 원칙적으로 불가능하다. 이러한 DWDM 시스템에 응용될 수 있는 파장가변기로는 그림 1과 같이 CFBG (Chirped Fiber Bragg Grating)을 외부 공진기로 하는 mode-locked 레이저가 있다 [2-3].

외부 공진기 구조를 갖는 레이저는 공진 주파수와 일치하거나 그의 정수배에 해당되는 RF 변조에 의해 레이저 공진모드가 동기가 되는 mode-lock 현상을 보인다. 이 때, 외부 공진기로 CFBG를 이용하면 레이저의 발진 모드간의 파장차이에 의한 모드간 공진 주기의 차이가 발생한다. 여러 개의 발진 모드를 중 임의의 공진 모드에 일치되는 RF 변조로 단일모드 발진을 구현할 수 있다. 파장 변환은 RF 변조 주파수의 변화에 의해 mode-lock 되는 발진모드가 정해지는 원리를 이용한 것이다 [3].

**Structure and Model of two-mode external cavity laser**

본 연구에서는 그림 1에 나타낸 레이저 구조를 외부 공진기에서 레이저로 반사 주입되는 strong optical injection을 고려한 multi-mode rate-equation을 통해 해석하였다. 외부 공진기로부터 반사되는 time-delayed feedback은 식(1)과 같이 주어지는 시간과 주파수에 따른 외부 공진기의 feedback parameter로 나타낼 수 있다 [4].

$$f_{\text{RF}} = 1 + \frac{r_g}{\sqrt{R_2}} (1 - R_1) \sum_{k=1}^{\infty} \sqrt{\frac{I(t-k \cdot \tau_{\text{ext}})}{I(t)}} (-\sqrt{R_2} \cdot r_g) \times \exp\{-j\omega k \cdot \tau_{\text{ext}} + j[\phi(t-k \cdot \tau_{\text{ext}}) - \phi(t)]\} \quad (1)$$

$R_2, r_g$ 는 각각 외부 공진기를 향한 LD 반사면의 반사율과 CFBG의 반사율,  $C$ 는 광섬유와 LD의 결합상수,  $\tau_{\text{ext}}$ 는 외부 공진기의 round-trip time,  $k$ 는 정수이다.  $I(t)$ 와  $\phi(t)$ 는 각각 공진기 내의 시간에 따른 빛의 세기와 위상을 나타낸다. 레이저의 파장변환을 위한 변조 주파수는 공진기의 길이로부터 다음과 같은 관계를 갖는다.

$$f_{\text{RF}} = \frac{mc}{2n_g L(f_{\text{RF}})} \quad (2)$$

위에서  $m$ 은 공진주파수의 고조파 차수,  $c$ 는 빛의 속도,  $L(f_{\text{RF}})$ 는 공진기의 길이,  $n_g$ 는 광섬유의 유효 굴절률이다. Chirp to length ratio가 10 nm/cm인 CFBG를 가정했을 때, 파장 간격이 0.8 nm인 Fabry-Perot 모드 간에는 800 μm의 공진기 길이 차이가 생기게 되어 약 8.105 ps의 round-trip time 차이가 발생한다. 길이가 6 m인 공진기는 166.7 MHz의 공진주파수를 가지므로 이 공진주파수와 일치하는 Fabry-Perot LD의 모드가 존재한다면, 이 모드는 공진주파수의 15 번째 고조파 성분인 2.5005 GHz 변조에 의해 mode-lock 될 수 있다. 파장 변환을 위해서 변조 주파수를 Fabry-Perot 모드간 round-trip time 차이에 해당되는 주파수로 옮기면 lock 된 모드가 mode-hopping에 의해 다른 파장의 모드로 스위칭 된다.

### Results

그림 2는  $\lambda_p=1554.4\text{ nm}$ 인 모드  $p$ 와  $\lambda_q=1553.6\text{ nm}$ 인 모드  $q$ 의 출력을 시간영역에서 나타낸 그림이다. 이 때 LD의 bias는 임계전류의 1.52 배이며 RF 변조는 2.5005 GHz에서 10 dBm이다. 그림에서 번조 주파수의 harmonic 조건을 만족하는 모드  $p$ 의 출력이 모드  $q$ 의 출력보다 매우 크다는 것을 확인 할 수 있다.

그림 3은 번조 주파수를 모드  $q$ 의 공진 주파수의 고조파 성분인 2.4971 GHz로 옮겼을 때의 출력 파형을 시간 영역에서 나타낸 그림이다. 그림 2의 결과와는 대조적으로 모드  $q$ 의 출력이 모드  $p$ 보다 크게 증가 했음을 확인할 수 있다.

그림 1에 나타낸 레이저 구조에서의 SMSR이  $R_2$ 의 변화에 의해 받는 영향을 그림 4에 나타내었다.  $R_2$ 가 커질수록 SMSR이 향상됨을 확인할 수 있다. 이는  $R_2$ 가 증가함에 따라 인가된 주파수에 일치되는 외부 공진 모드의 coherency가 향상되기 때문이다.

결론적으로, CFBG 외부 공진기 구조를 갖는 Fabry-Perot LD에서 RF 번조 주파수 tuning을 통해 longitudinal-mode switching을 시키며 동시에 100GHz 단위의 파장변환이 가능함을 시험해 이션을 통해 확인하였고 Fabry-Perot 모드간 SMSR은  $R_2$ 가 클수록 향상됨을 확인할 수 있다.

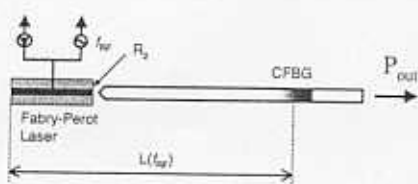


그림 1. CFBG 외부 공진기 레이저의 구조

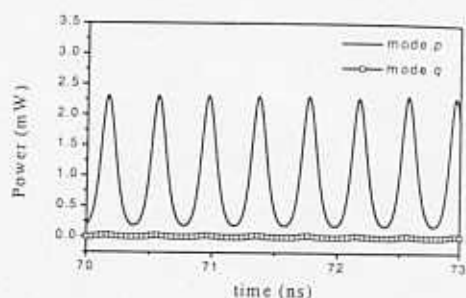


그림 2. 모드  $p$ 의 고조파 성분인 2.5005 GHz로 변조해 주었을 때의 external cavity 레이저의 출력파형

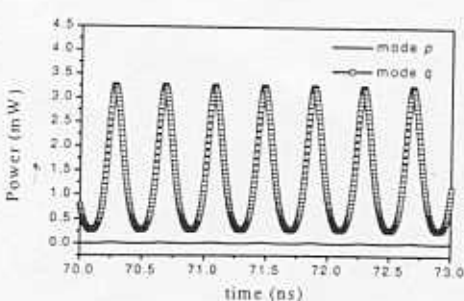


그림 3. 모드  $q$ 의 고조파 성분인 2.4971 GHz로 변조해 주었을 때의 external cavity 레이저의 출력파형

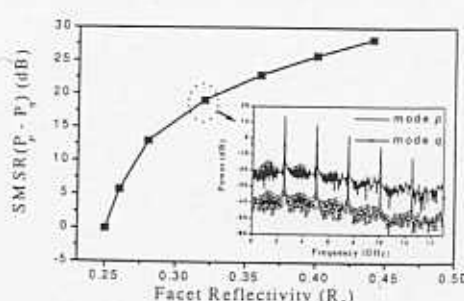


그림 4.  $R_2$ 의 변화에 따른 그림 1에 나타난 레이저구조에서의 SMSR 변화

### Reference

- [1] S. V. Kartalopoulos, Introduction to DWDM Technology.
- [2] P. A. Morton, et al., IEEE PTL, vol. 7, pp. 111, 1995.
- [3] H. Ding, et al., IEEE PTL, vol. 9, 99, 901, 1997.
- [4] J. Park, et al., IEEE QE26, pp. 1353, 1990.